

# 稀土氧化钇基陶瓷型芯材料的制备研究

于子豪<sup>1</sup>, 杨治刚<sup>1</sup>, 秦国强<sup>1</sup>, 张光磊<sup>1</sup>, 赵志佳<sup>1</sup>, 尹自强<sup>1</sup>, 甄梦含<sup>1</sup>, 余建波<sup>2</sup>, 任忠鸣<sup>2</sup>

(1. 石家庄铁道大学材料科学与工程学院, 河北石家庄 050043;

2. 上海大学省部共建高品质特殊钢冶金与制备国家重点实验室, 上海 200072)

**摘要:** 通过改变硅树脂含量、烧结温度和保温时间, 研究其对稀土Y<sub>2</sub>O<sub>3</sub>基陶瓷型芯性能的影响规律。试验结果如下: 随硅树脂含量增加, 样品的体积密度逐渐减小, 抗弯强度逐渐降低; 随烧结温度升高, 样品的体积密度逐渐增加, 气孔率逐渐减小, 抗弯强度逐渐增大; 随保温时间延长, 样品的体积密度和抗弯强度呈逐渐上升的趋势, 气孔率先下降在保温1 h后无明显变化。当硅树脂含量为3%, 烧结温度为1 600 ℃, 保温时间为240 min时, 样品的综合性能最佳, 其抗弯强度为 50.77 MPa, 气孔率为 21.13%。

**关键词:** Y<sub>2</sub>O<sub>3</sub>基陶瓷型芯; 硅树脂; 常压烧结; 性能测试

## 作者简介:

于子豪(1995-), 男, 硕士, 研究方向: 陶瓷型芯材料制备。E-mail: 351242645@qq.com

## 通讯作者:

杨治刚, 男, 讲师。E-mail: yangzhigang@stdu.edu.cn

中图分类号: TG221

文献标识码: A

文章编号: 1001-4977(2020)

06-0612-05

## 基金项目:

河北省自然科学基金项目(E2019210042); 河北省教育厅项目(QN2019137)。

## 收稿日期:

2019-10-24 收到初稿,

2019-12-06 收到修订稿。

航空发动机是飞机的核心<sup>[1]</sup>, 掌握了航空发动机的自主研发技术, 就等同于掌握了飞机的命脉。而涡轮发动机的组成中最关键的是涡轮叶片, 由于燃料在燃气涡轮中要与氧气混合反应产生1 600~1 800 ℃的高温, 并且伴随着巨大的燃气压力, 使得涡轮叶片的工作环境十分恶劣<sup>[2-4]</sup>。要保证其在如此恶劣的环境中长时间有效工作, 涡轮叶片的制造需要新型的耐高温材料。现在普遍应用的是铸造空心叶片, 用这种方式铸造出的空心叶片可以有效进行冷却, 提高涡轮前温度, 保证燃气涡轮叶片正常工作。性能优异的陶瓷型芯是铸造出高质量空心叶片的重要前提<sup>[5-6]</sup>。美国Howmet公司和GE公司等都研制成了多种成分的硅基陶瓷型芯, 并应用于定向凝固空心涡轮叶片<sup>[7]</sup>; 国外许多公司的陶瓷型芯生产已经形成了专业化生产。而我国陶瓷型芯产业距离国外先进水平还有很远的要走, 因此需要加快对陶瓷型芯材料的研发力度。现在航空航天飞机使用的涡轮叶片材料是Ni基高温合金<sup>[8]</sup>, 但是由于Ni基高温合金要提高其工作温度已经变得非常困难, 所以要研究新型的高温合金—Nb-Si基高温合金<sup>[9]</sup>。作为新的涡轮叶片材料, Nb-Si基<sup>[10-12]</sup>高温合金与Ni基高温合金相比有着显著优点。Nb-Si基高温合金可以应用于1 200~1 450 ℃高温<sup>[13-15]</sup>, 有良好的高温性能和应用性能, 有希望在将来代替Ni基高温合金在更高温度下使用。

对于Nb-Si基高温合金, 在众多氧化物材料中, 在相同温度下, Y<sub>2</sub>O<sub>3</sub><sup>[15-16]</sup>的结合能最高, 说明它是这些氧化物中最稳定的, 在高温高压的环境中不容易与其他金属反应。综合来看, Y<sub>2</sub>O<sub>3</sub>符合Nb-Si基高温合金进行近净型精密铸造所需的陶瓷型芯要求<sup>[17-18]</sup>。故本次试验选择Y<sub>2</sub>O<sub>3</sub>进行陶瓷型芯的制备及性能研究。主要对Y<sub>2</sub>O<sub>3</sub>陶瓷型芯的失重率、气孔率、体积密度、抗弯强度和微观形貌进行研究, 为陶瓷型芯提供新的材料。

本试验基体材料选用的是Y<sub>2</sub>O<sub>3</sub>, 增塑剂是硅树脂粉末。其中, 硅树脂粉末具有一定粘结性, 在压制过程中易成形, 在烧成过程中硅树脂会发生热分解, 转变为SiO<sub>2</sub>, 可以起到烧结助剂作用, 降低其烧结温度<sup>[19-20]</sup>。

## 1 试验方法

试验采用干压成形方法, 选用325目电熔氧化钇粉末作为基质材料, 增塑剂是有机硅树脂粉末。将氧化钇粉末和硅树脂粉末混合, 在球磨机中球磨12 h。硅树脂粉末

的质量分数分别占总重量的3%、8%和10%。球磨后, 80目筛网过筛, 将原料压制成7 mm × 8 mm × 45 mm的长方体样品, 压力为20 MPa, 保压时间为3 min。将样品在烧结炉中烧结, 烧结温度分别为: 1 450 °C、1 500 °C、1 550 °C和1 600 °C, 保温时间分别为30 min、60 min、120 min和240 min。对烧结完成的Y<sub>2</sub>O<sub>3</sub>陶瓷型芯样品进行失重率、气孔率和体积密度、室温抗弯强度和断口形貌观察。

用电子天平测试样品烧结前后的质量变化, 计算其失重率; 使用阿基米德排水法测量样品的气孔率和体积密度; 采用三点弯曲测试方法测试样品的抗弯强度, 跨距为30 mm, 加载速率为0.5 mm/min, 计算出样品的抗弯强度; 通过SEM (HITACHI SU-1500) 观察样品的断口形貌。

## 2 结果和讨论

### 2.1 失重率分析

由图1a可知, 随硅树脂含量增加, 样品的失重率逐渐增加。样品的失重率由0.84%上升至1.64%。烧结的失重主要是由于硅树脂在600 °C时发生热氧化降解反应引起, 包括侧链上的有机活性基团的氧化脱除和主链的降解。硅树脂的侧链基团以CO、CO<sub>2</sub>、H<sub>2</sub>O及H<sub>2</sub>等气体形式消除, 主链由-Si-O-Si-结构转变为SiO<sub>2</sub>残留在

样品中<sup>[19-20]</sup>, 从而造成烧结样品的失重。硅树脂含量越大, 发生反应量越大, 故失重率越高。

从图1b和1c看出, 在硅树脂含量为3%的情况下, 随烧结温度升高和保温时间延长, 样品的失重率无明显变化规律。在改变烧结温度试验中, 样品失重率变化为0.84%~1.1%; 在改变保温时间试验中, 样品失重率变化范围是0.84%~1.0%, 变化范围很小。是因为在烧结过程中, 硅树脂在600 °C的情况下就发生裂解过程, 导致硅树脂挥发, 所以提高烧结温度和保温时间对失重率影响较小。

### 2.2 气孔率和体积密度分析

如图2所示, 在图2a中, 随着硅树脂含量的增高, 试样的气孔率呈现略微起伏变化, 其变化幅度很小, 而体积密度逐渐下降。在硅树脂含量为3%的情况下 (图2b), 随着烧结温度升高, 试样的气孔率逐渐降低, 体积密度逐渐增加, 试样变得更加致密。随保温时间延长 (图2c), 试样的气孔率呈现降低的趋势, 当保温时间由30 min延长到60 min时, 气孔率明显降低, 之后随保温时间延长气孔率变化不大。这是由于硅树脂的在600 °C时发生裂解, 保温时间对气孔率的影响不大。试样的体积密度与气孔率变化相反。保温时间越长, 有利于样品的致密化。

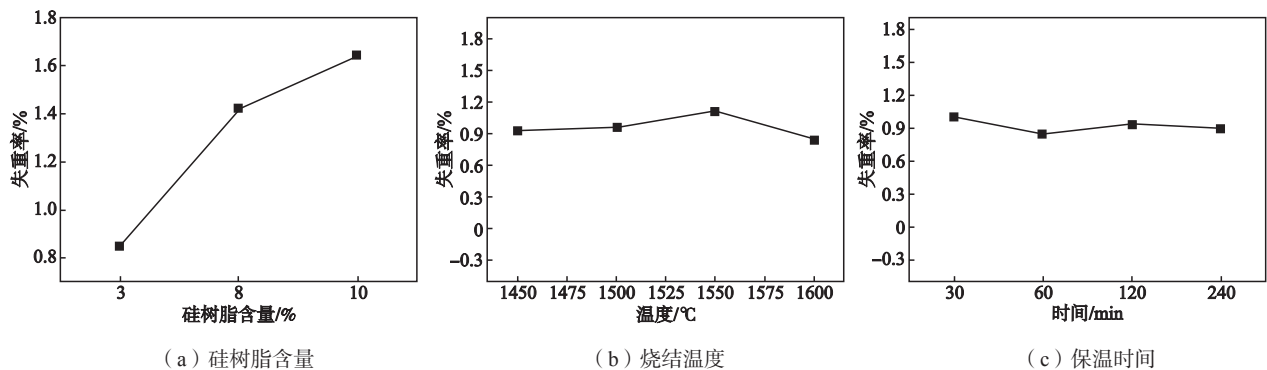


图1 样品失重率

Fig. 1 Weight loss rate of samples

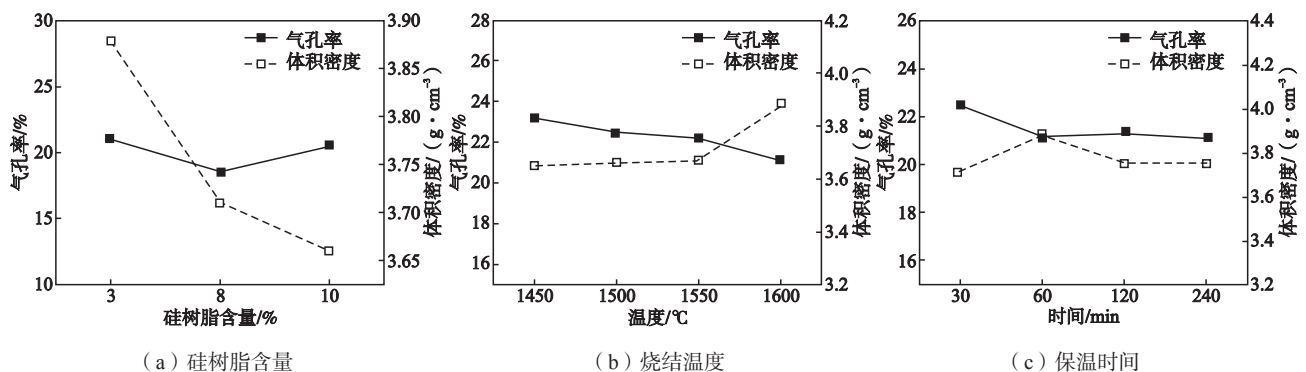


图2 样品的气孔率和体积密度

Fig. 2 Apparent porosity and volume density of samples

### 2.3 抗弯强度分析

如图3a所示,随着硅树脂含量的增加,样品的抗弯强度降低。这是由于随着硅树脂的增加,在烧结过程中,硅树脂在600℃的情况下发生裂解反应,硅树脂挥发,样品的失重率上升,表观孔隙率逐渐增加,结果导致弯曲强度降低。在图3b,3c中,设置硅树脂含量为3%,随着烧结温度升高,样品的抗弯强度呈上升趋势,由于温度升高,样品结构变得致密化,从而抗弯强度高,烧结温度为1600℃时样品的抗弯强度达到最大,为47.95 MPa。随保温时间延长,试样的抗弯强度缓慢上升,在保温30 min时抗弯强度最低,当保温时间延长至240 min时,抗弯强度达到最大,为50.77 MPa。延长保温时间,有利于样品结构致密化,从而提高抗弯强度。

### 2.4 SEM 断口扫描分析

SEM断口扫描结果如图4所示。当硅树脂添加量为3%时,大颗粒数量多且棱角分明,小颗粒均匀弥散分布在大颗粒形成的孔隙中,无明显玻璃相生成,颗粒与颗粒之间连接较弱,气孔分布均匀,大小适中;当硅树脂含量达到8%时,小颗粒的量逐渐减少,且开始出现团聚现象,大小颗粒之间的分界不再明显,且颗粒之间开始由玻璃相连接;当硅树脂含量增加到10%时,颗粒团聚现象明显,大颗粒的边界十分模糊,小颗粒几乎与大颗粒融为一体,大气孔随处可见,气孔

均匀性很差。推测在烧结过程中 $Y_2O_3$ 与硅树脂转变的 $SiO_2$ 会发生反应生成 $Y_2SiO_5$ ,但生成量较少。总体来看,由于硅树脂添加量不同而最终影响样品的显微结构、气孔率、气孔大小及性能。可见,硅树脂含量是影响材料性能的主要因素<sup>[21-22]</sup>。

如图5所示,烧结温度为1450℃时,小颗粒堆积在大颗粒周围,颗粒间界限不明显,且气孔大小不均匀;当烧结温度为1500℃时,大颗粒有明显边界,小颗粒填充在大颗粒的间隙中,颗粒与颗粒间的连接开始减弱,气孔尺寸略微增大;温度升至1550℃时,大颗粒棱角分明,小颗粒紧密堆积在大颗粒形成的孔隙中,无玻璃相的生成,气孔大小适中;温度升高至1600℃时,颗粒之间的界限十分明显,大颗粒的棱角分明,小颗粒均匀分布在大颗粒之间,所形成的气孔大小均匀分布弥散,致密度增加。因此,随着烧结温度增加,致密度增加,气孔率减小,颗粒均匀性增加,使得陶瓷型芯的抗弯强度增加。

由图6可知,随保温时间增加,样品的微观结构呈现致密趋势,大颗粒与其周围的小颗粒结合越紧密,气孔大小适中,分布均匀性好。在保温30 min时,小颗粒填充在大颗粒形成的空隙中,堆积较松散,不够致密,且大气孔很明显,气孔分布均匀性较差;保温时间达到60 min和120 min时,小颗粒与大颗粒结合较紧密,且分布弥散,气孔大小适中;当保温时间达到

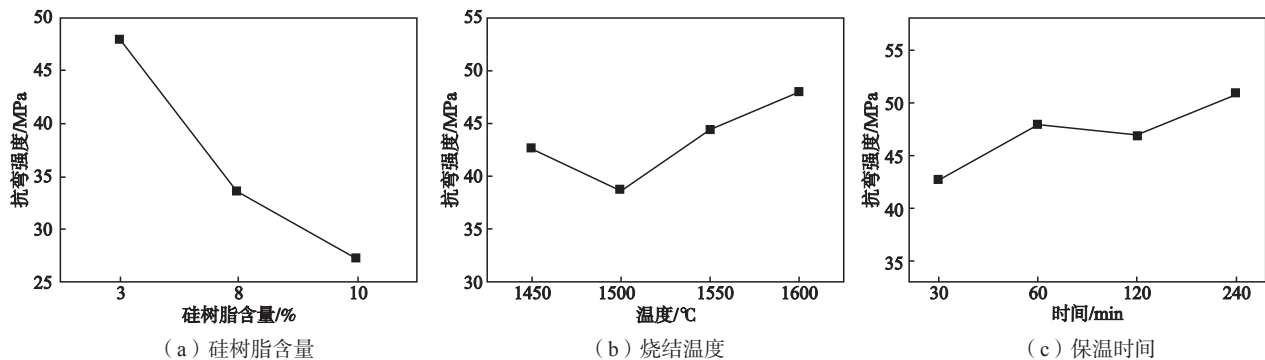
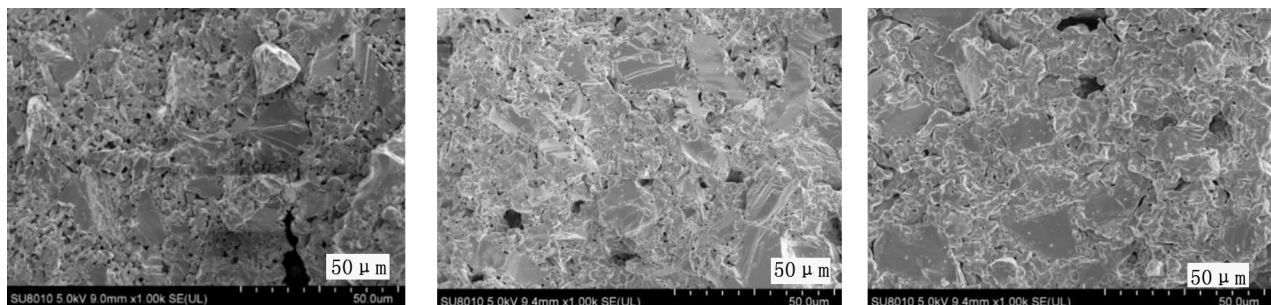


图3 样品的抗弯强度  
Fig. 3 Bending strength of samples



(a) 硅树脂含量3%

(b) 硅树脂含量8%

(c) 硅树脂含量10%

图4 1600℃烧结样品的扫描图  
Fig. 4 SEM images of samples sintered at 1600℃

240 min时, 出现大的烧结平面, 样品的致密性较好, 气孔均匀分散。可见, 保温时间越长, 样品致密性越好, 具有更好的力学性能。

### 3 结论

(1) 随硅树脂含量增多,  $Y_2O_3$ 基陶瓷型芯的体积密度下降, 抗弯强度下降。

(2) 随烧结温度的升高,  $Y_2O_3$ 基陶瓷型芯的气孔率逐渐下降, 体积密度逐渐增加, 抗弯强度逐渐升高; 随保温时间的增加, 气孔率逐渐下降, 体积密度逐渐上升, 抗弯强度逐渐增加。

(3) 当硅树脂含量为3%, 烧结温度为1 600  $^{\circ}C$ , 保温时间为240 min时, 型芯样品的综合性能最佳, 其抗弯强度为50.77 MPa, 气孔率为21.13%。

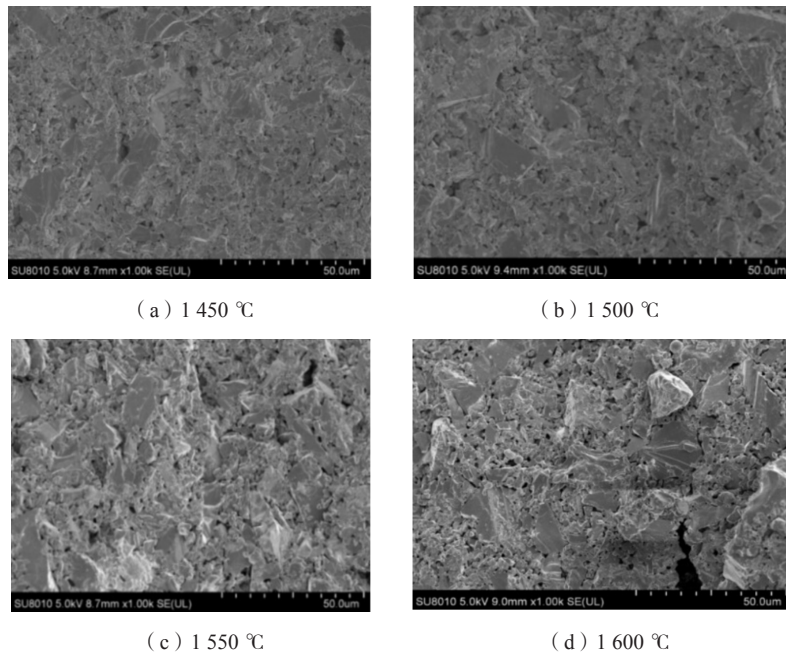


图5 保温60 min获得的氧化钇基陶瓷型芯的SEM图像

Fig. 5 SEM images of  $Y_2O_3$ -based ceramic cores prepared at different temperatures with 60 min

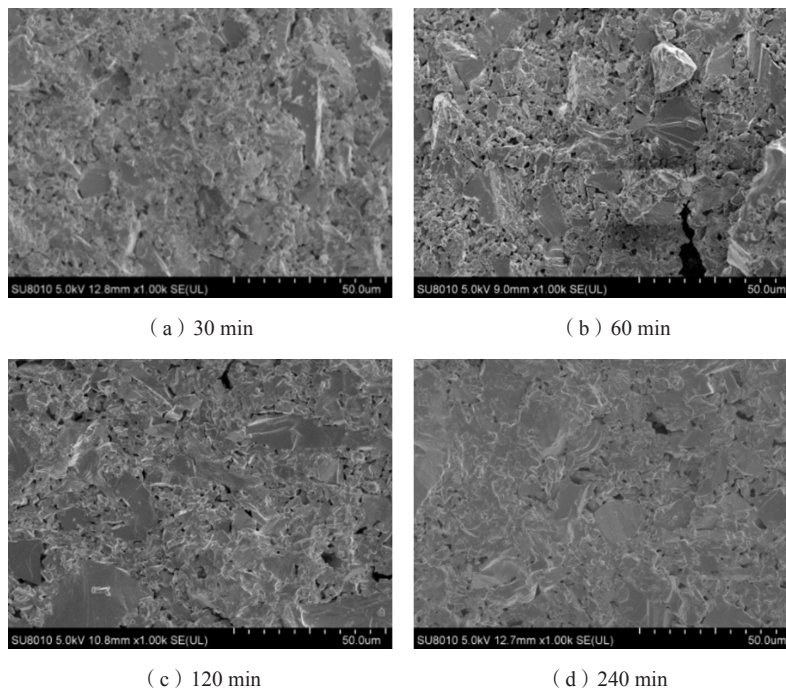


图6 1 600  $^{\circ}C$ 获得的氧化钇基陶瓷型芯的SEM图像

Fig. 6 SEM images of  $Y_2O_3$ -based ceramic cores prepared at 1 600  $^{\circ}C$  with different holding times

## 参考文献:

- [1] 陈晓燕, 肖旅, 余建波, 等. 高温合金空心叶片用陶瓷型芯概述 [J]. 铸造, 2016, 65 (9): 868-873.
- [2] 梁启如, 吴玉胜, 刘孝福, 等. 航空发动机涡轮叶片铸造用陶瓷型芯研究进展 [J]. 铸造, 2018, 67 (9): 790-793.
- [3] 赵红亮, 翁康荣, 关绍康, 等. 空心叶片用陶瓷型芯 [J]. 特种铸造及有色合金, 2004 (5): 38-40.
- [4] 曹腊梅. 定向空心叶片的陶瓷型芯 [J]. 航空制造工程, 1995 (10): 11-15.
- [5] 韩国明, 李飞, 孙宝德. Nb-Si基超高温合金研究进展 [J]. 特种铸造及有色合金, 2018, 38 (10): 1071-1075.
- [6] 康海峰, 李飞, 赵彦杰, 等. 高温合金空心叶片精密铸造用陶瓷型芯与型壳的研究现状 [J]. 材料工程, 2013 (8): 85-91.
- [7] 曹腊梅, 杨耀武, 才广慧, 等. 单晶叶片用氧化铝基陶瓷型芯AC-1 [J]. 材料工程, 1997 (9): 21-23, 27.
- [8] 姜不居. 熔模铸造手册 [M]. 北京: 机械工业出版社, 2000.
- [9] 薛明, 曹腊梅. 单晶空心叶片用AC-2陶瓷型芯的组织 and 性能研究 [J]. 材料工程, 2002 (4): 33-37.
- [10] 刘小瀛, 王宝生, 张立同. 氧化铝基陶瓷型芯研究进展 [J]. 航空制造技术, 2005 (7): 26-29.
- [11] 贺靠团, 马德文, 蒋殷鸿, 等. 空心叶片复杂硅基陶瓷型芯的粉料粒度 [J]. 材料工程, 1992 (1): 34-35.
- [12] QIN Y X, ZHANG R, DU A B, et al. Effect of particle size on properties of alumina-based ceramic cores [J]. Rare Metal Materials and Engineering, 2007, 36 (S1): 711-713.
- [13] 范蕙萍. 镍基合金叶片铸造用氧化铝陶瓷型芯性能的研究 [D]. 哈尔滨: 哈尔滨工业大学, 2008.
- [14] 徐智清. 徐智清. 粉料粒度对定向空心叶片陶瓷型芯质量的影响 [J]. 材料工程, 1995 (5): 29-31.
- [15] 潘继勇, 刘孝福, 何立明, 等. 硅基陶瓷型芯的研究进展 [J]. 铸造, 2012, 61 (2): 174-178.
- [16] 焦亚梅. Y<sub>2</sub>O<sub>3</sub>基透明陶瓷的制备及其发光性能研究 [D]. 南昌: 南昌航空大学, 2017.
- [17] 孙旭东, 李继光, 张民, 等. Al<sub>2</sub>O<sub>3</sub>/SiC纳米陶瓷复合材料的强化机理 [J]. 金属学报, 1999 (8): 879-882.
- [18] BEWLAY B P, JACKSON M R, SUBRAMANIAN P R, et al. A review of very-high-temperature Nb-silicide-based composites [J]. Metallurgical and Materials Transactions A, 2003, 34 (10): 2043-2052.
- [19] 杨治刚, 余建波, 李传军, 等. 热固性硅树脂压注法制备多孔硅基陶瓷型芯研究 [J]. 无机材料学报, 2015, 30 (2): 147-152.
- [20] 宋宗成, 杨治刚, 余建波, 等. 硅树脂粘结球形SiO<sub>2</sub>陶瓷型芯的制备及性能研究 [J]. 铸造, 2017, 66 (12): 1251-1255.
- [21] YANG Z G, YIN Z Q, SHI Y, et al. Microstructure and bending strength improvement of alumina-based ceramic cores by liquid silicone resin infiltration [J]. Materials Chemistry and Physics, 2020, 239 (1): 122041.
- [22] YANG Z G, ZHAO Z J, YU J B, et al. Preparation of silica ceramic cores by the preceramic pyrolysis technology using silicone resin as precursor and binder [J]. Materials Chemistry and Physics, 2019, 223 (1): 676-682.

## Preparation of Rare Earth Yttrium Oxide-Based Ceramic Core Material

YU Zi-hao<sup>1</sup>, YANG Zhi-gang<sup>1</sup>, QIN Guo-qiang<sup>1</sup>, ZHANG Guang-lei<sup>1</sup>, ZHAO Zhi-jia<sup>1</sup>, YIN Zi-qiang<sup>1</sup>, ZHEN Meng-han<sup>1</sup>, YU Jian-bo<sup>2</sup>, REN Zhong-ming<sup>2</sup>

( 1. School of Materials Science and Engineering, Shijiazhuang Tiedao University, Shijiazhuang 050043, Hebei, China; 2. State Key Laboratory of Advanced Special Steel, Shanghai University, Shanghai 200072, China)

### Abstract:

The effects of silicone resin content, sintering temperature and holding time on the properties of rare earth Y<sub>2</sub>O<sub>3</sub>-based ceramic cores were studied. The results show that, with an increase in silicone resin content, the bulk density and flexural strength of the sample decreased gradually; with an increase in sintering temperature, the bulk density and flexural strength of the sample increased gradually, while the porosity decreased gradually; with an increase in holding time, the bulk density and flexural strength tended to increase gradually, while the porosity decreased first and then become steady after 1 h of heat preservation. When the content of silicone resin was 3%, the sintering temperature was 1 600 °C, and the holding time was 240 min, the comprehensive performance of the sample was the best. The flexural strength was 50.77 MPa and the porosity was 21.13%.

### Key words:

Y<sub>2</sub>O<sub>3</sub>-based ceramic core; silicone resin; pressureless sintering; properties testing